

Session 3

Liaisons, architectures atomiques et défauts dans les cristaux

Références *Chapitre 2 et 3*

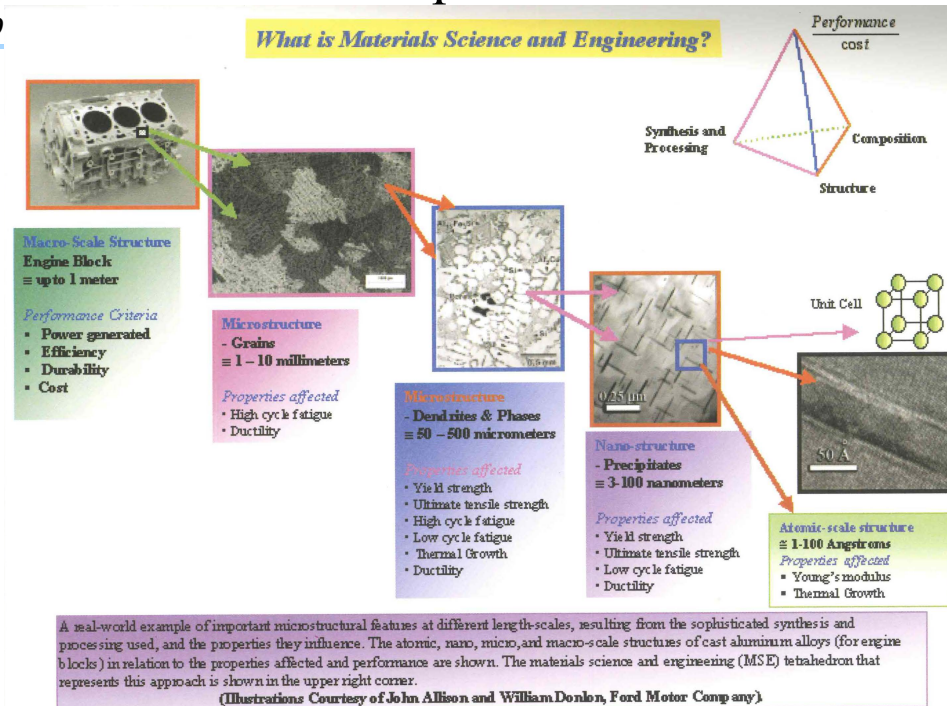
1-1

Pourquoi?

1. Choix des matériaux
2. Propriétés
3. Peut on les modifier? Les contrôler?
4. Il faut donc comprendre de quoi elles dépendent.
5. De quoi dépends le module d'élasticité? Peut on le modifier pour un matériau donné
6. De quoi dépends le coefficient de dilatation thermique?
7. Pourquoi un polymère a une température de fusion plus basse qu' une céramique?
8. Pourquoi certains métaux sont plus ductiles que d' autres?
9. Comment ce fait-il qu'un acier de même composition chimique puisse avoir des propriétés différentes? Plus ou moins ductile?
10. Comment peut on avoir des céramiques ou des polymères de différentes opacités?
11. Propriétés dépendent de la structure et microstructure

1-2

Pourquoi?



Source: D.R. Askerland, P.P. Phulé The science and Engineering of Materials

1-3

Plan du cours

- Liaisons chimiques
 - Différents types
 - Propriétés qui en dépendent
 - Liaisons dans les différents matériaux
- Structures cristallines et amorphes
 - Différents types
 - Directions et plans cristallins
- Défauts dans les cristaux
 - Défauts ponctuels
 - Dislocations
 - Défauts à trois dimensions

1-4

Plan du cours

- **Liaisons chimiques**
 - Différents types
 - Propriétés qui en dépendent
 - Liaisons dans les différents matériaux
- **Structures cristallines et amorphes**
 - Différents types
 - Directions et plans cristallins
- **Défauts dans les cristaux**
 - Défauts ponctuels
 - Dislocations
 - Défauts à trois dimensions

1-5

Tableaux périodique

1 1A New Original	2 2A IA	3 IIIB	4 IVB	5 VB	6 VIB	7 VIIB	8 VIII	9 VIII	10 VIII	11 IB	12 IIB	13 IIIA	14 IVA	15 VA	16 VIA	17 VIIA	18 VIIIA
1 H Hydrogène 1.00794	2 He Hélium 4.002602																
3 Li Lithium 6.941	4 Be Béryllium 9.012182											5 B Bore 10.811	6 C Carbone 12.0107	7 N Azote 14.00644	8 O Oxygène 15.9994	9 F Fluor 18.9984032	10 Ne Neon 20.1797
11 Na Sodium 22.989769	12 Mg Magnésium 24.3050											13 Al Aluminium 26.981538	14 Si Silicium 28.0855	15 P Phosphore 30.973761	16 S Soufre 32.06	17 Cl Chlore 35.453	18 Ar Argon 39.948
19 K Potassium 39.0983	20 Ca Calcium 40.078	21 Sc Scandium 44.955910	22 Ti Titane 47.887	23 V Vanadium 50.9415	24 Cr Chrome 51.9961	25 Mn Manganèse 54.938049	26 Fe Fer 55.8457	27 Co Cobalt 58.933200	28 Ni Nickel 58.6934	29 Cu Cuivre 63.546	30 Zn Zinc 65.409	31 Ga Gallium 69.723	32 Ge Germanium 72.64	33 As Arsenic 74.92160	34 Se Sélénium 78.96	35 Br Brome 79.904	36 Kr Krypton 83.798
37 Rb Rubidium 85.4678	38 Sr Strontium 87.62	39 Y Yttrium 88.90585	40 Zr Zirconium 91.224	41 Nb Niobium 92.90638	42 Mo Molybdène 95.94	43 Tc Technétium (98)	44 Ru Ruthénium 101.07	45 Rh Rhodium 102.90550	46 Pd Palladium 106.42	47 Ag Argent 107.8682	48 Cd Cadmium 112.411	49 In Indium 114.818	50 Sn Étain 118.710	51 Sb Antimoine 121.760	52 Te Tellure 127.60	53 I Iode 126.90547	54 Xe Xénon 131.29
55 Cs Césium 132.90545	56 Ba Baryum 137.327	57 to 71 Lanthanides	72 Hf Hafnium 178.49	73 Ta Tantale 180.9479	74 W Tungstène 183.84	75 Re Rhenium 186.207	76 Os Osmium 190.23	77 Ir Iridium 192.217	78 Pt Platine 195.078	79 Au Or 196.96655	80 Hg Mercure 200.59	81 Tl Thallium 204.3833	82 Pb Plomb 207.2	83 Bi Bismuth 208.98039	84 Po Polonium (209)	85 At Astatine (210)	86 Rn Radon (222)
87 Fr Francium (223)	88 Ra Radium (226)	89 to 103 Actinides	104 Rf Rutherfordium (261)	105 Db Dubnium (262)	106 Sg Seaborgium (266)	107 Bh Bohrium (264)	108 Hs Hassium (265)	109 Mt Meitnerium (268)	110 Ds Darmstadtium (271)	111 Rg Roentgenium (272)	112 Uub Ununbium (285)	113 Uut Ununtrium (284)	114 Uuq Ununquadium (289)	115 Uup Ununpentium (288)	116 Uuh Ununhexium (289)	117 Uus Ununseptium (289)	118 Uuo Ununoctium (289)

Atomic masses in parentheses are those of the most stable or common isotope.

Note: The subgroup numbers 1-18 were adopted in 1984 by the International Union of Pure and Applied Chemistry. The names of elements 112-118 are the Latin equivalents of those numbers.

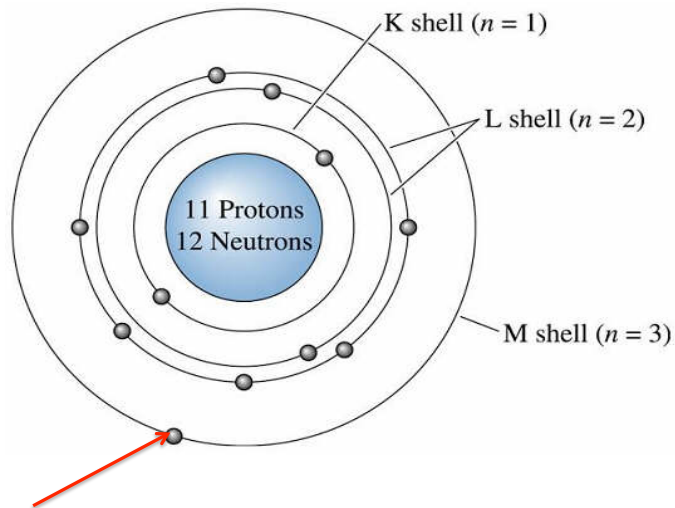
57 La Lanthane 138.9055	58 Ce Cérium 140.116	59 Pr Praseodyme 140.90765	60 Nd Néodyme 144.24	61 Pm Prométhium (145)	62 Sm Samarium 150.36	63 Eu Europium 151.964	64 Gd Gadolinium 157.25	65 Tb Terbium 158.92534	66 Dy Dysprosium 162.500	67 Ho Holmium 164.93032	68 Er Erbium 167.259	69 Tm Thulium 168.93421	70 Yb Ytterbium 173.04	71 Lu Lutécium 174.967
89 Ac Actinium (227)	90 Th Thorium 232.0381	91 Pa Protactinium 231.03688	92 U Uranium 238.02891	93 Np Neptunium (237)	94 Pu Plutonium (244)	95 Am Américium (243)	96 Cm Curium (247)	97 Bk Berkélium (247)	98 Cf Californium (251)	99 Es Einsteinium (252)	100 Fm Fermium (257)	101 Md Mendelevium (258)	102 No Nobélium (259)	103 Lr Lawrencium (262)

1-6

Liaisons atomiques

Élétrons de Valence

Ceux qui occupent la couche externe



Electron de valence du sodium

Source: Callister- Materials Science and Engineering

1-7

Plan du cours

- **Liaisons chimiques**
 - Différents types
 - Propriétés qui en dépendent
 - Liaisons dans les différents matériaux
- Structures cristallines et amorphes
 - Différents types
 - Directions et plans cristallins
- Défauts dans les cristaux
 - Défauts ponctuels
 - Dislocations
 - Défauts à trois dimensions

1-8

Liaisons atomiques

□ Liaisons de forte intensité (primaires)

- liaisons ioniques
- liaisons covalentes
- liaisons métalliques

□ Liaisons de faible intensité (secondaires) : Van der Waals et pont hydrogène

Types de liaisons atomiques déterminent les propriétés fondamentales des matériaux

Exemple :

Fragilité --> matériaux covalents et ioniques

Ductilité ---> matériaux à liaison métallique

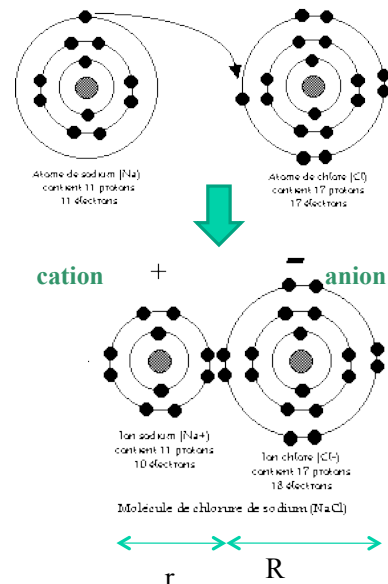
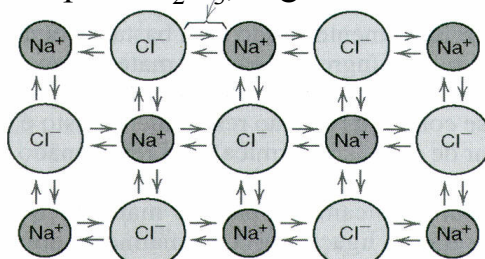
1-9

La liaison ionique

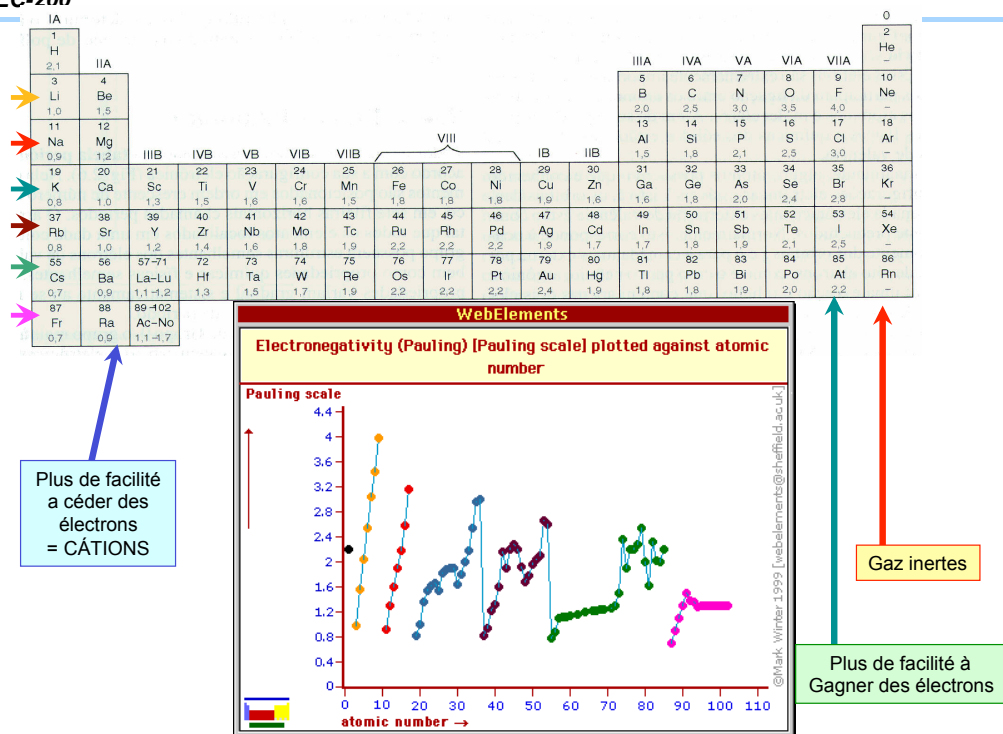
Transfert d'électron d'un atome (métallique) à un autre (non métallique)

- Perte de neutralité : ion positif (cation) et ion négatif (anions) : forte attraction
- Liaison forte (couche externe saturée) et non directionnelle
- Grande différence d'électronégativité entre éléments
- Exemple : NaCl ($\text{Na}^+ \text{Cl}^-$)

Exemples Al_2O_3 , MgO



Electronégativité



1-11

La liaison ionique

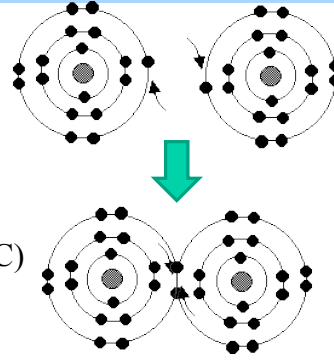
Tableau 2.1 Énergie de liaison des composés ioniques formés par l'hydrogène et les éléments de la colonne VIIB

Composé	Énergie de liaison (eV/mol)
HF	5,81
HCl	4,44
HBr	3,75
HI	3,06

La liaison covalente

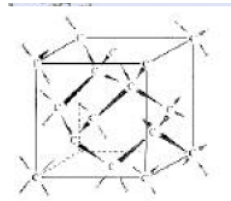
Mise en commun d'électrons de 2 atomes

- Liaison forte (couche externe saturée) et fortement directionnelle
- Forte énergie de liaison
- Liaison de type A-A (H-H ou **Cl-Cl**) ou A-B (H-C)
- Moins de différence d'électronégativité entre les éléments.

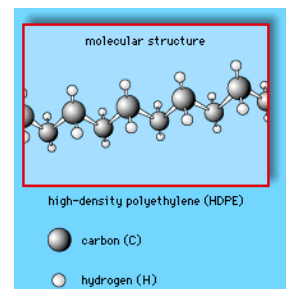


Ex : Cl-Cl

Ex: Diamant



Ex: polyéthylène
(C_2H_4)_n

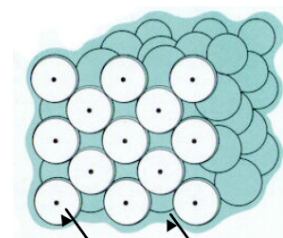
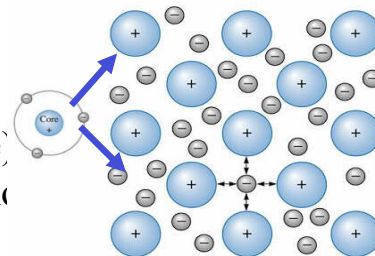


1-13

La liaison métallique

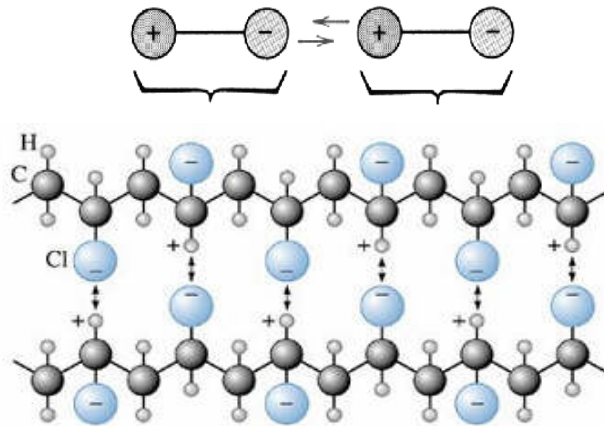
Électrons sont partagés entre ions positifs du réseau :

- Nuage d'électrons mobiles qui ne sont plus localisés entre les atomes (liaison covalente) ou sur un ion (liaison ionique) => Liaison non directionnelle
- Électrons peuvent se déplacer aisément sans briser la structures cristalline
 - ✓ bonne conduction
 - ✓ ductilité
- Énergie de liaison variable
 - Mercure : $T_f = -39^\circ C$
 - Tungstène : $T_f = 3410^\circ C$



1-14

Liaisons secondaires



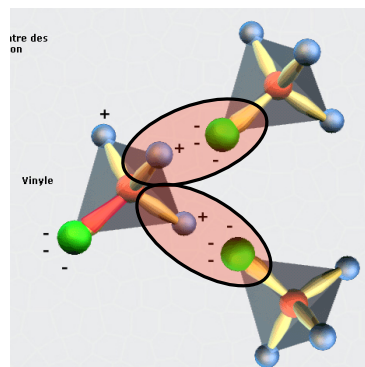
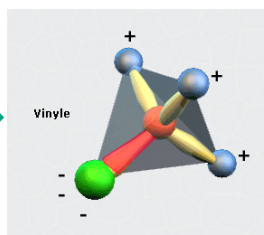
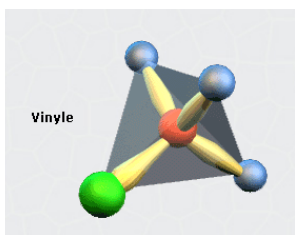
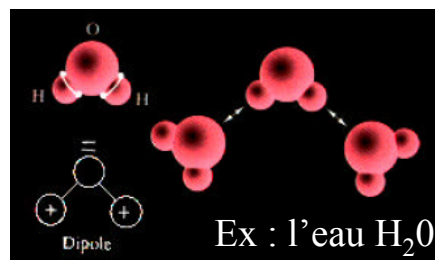
1-15

La « liaison » de Van der Waals

Liaison due à l'attraction entre les **molécules polarisées** de façon permanente ou induite

- ❑ Liaison de **faible intensité**
- ✓ T_F bas
- ❑ Exemple : chlorure de vinyle (CH_2Cl)

Cl (vert) très électronégatif : attire les électrons
=> création d'un dipôle permanent.



1-16

Plan du cours

- **Liaisons chimiques**
 - Différents types
 - **Propriétés qui en dépendent**
 - Liaisons dans les différents matériaux
- Structures cristallines et amorphes
 - Différents types
 - Directions et plans cristallins
- Défauts dans les cristaux
 - Défauts ponctuels
 - Dislocations
 - Défauts à trois dimensions

1-17

Liaisons et propriétés

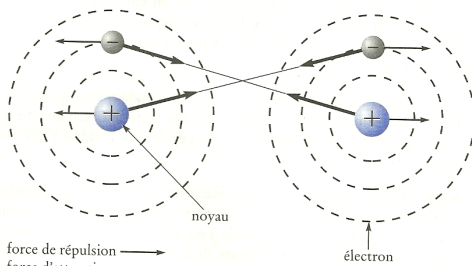
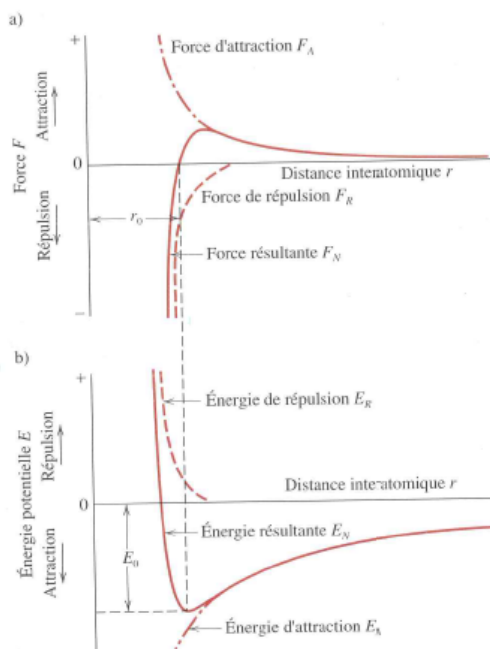


Figure 2.7 Représentation schématique du modèle de Bohr.

Source: Callister- Materials Science and Engineering



1-18

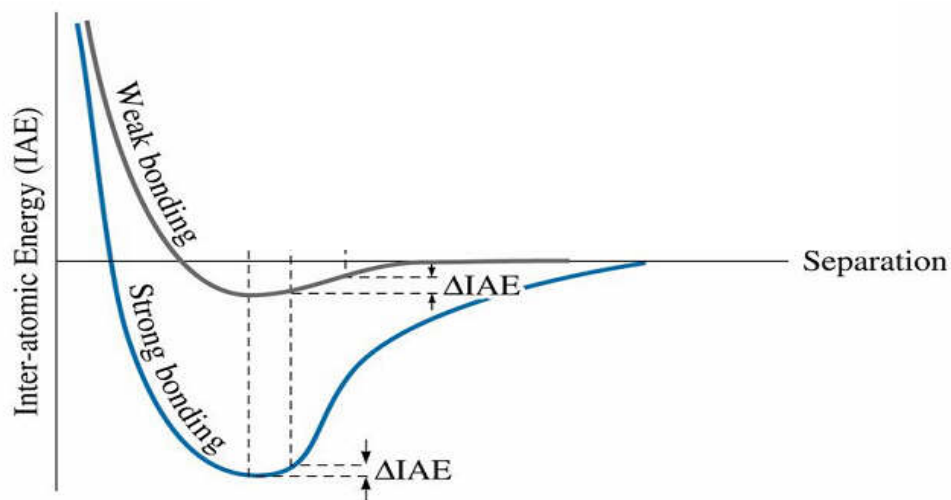
Liaisons atomiques

Bonding Energies and Melting Temperatures for Various Substances

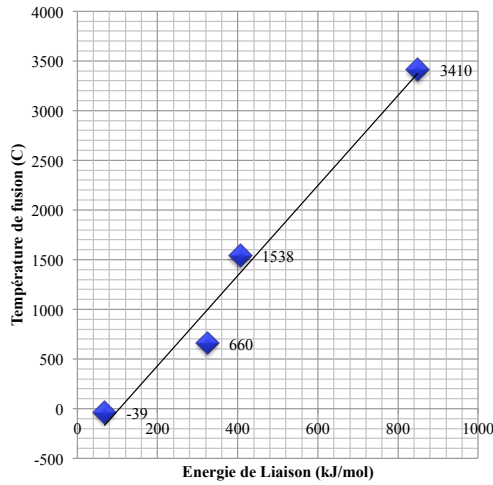
<i>Bonding Type</i>	<i>Substance</i>	<i>Bonding Energy</i>		<i>Melting Temperature (°C)</i>
		<i>kJ/mol (kcal/mol)</i>	<i>eV/Atom, Ion, Molecule</i>	
Ionic	NaCl	640 (153)	3.3	801
	MgO	1000 (239)	5.2	2800
Covalent	Si	450 (108)	4.7	1410
	C (diamond)	713 (170)	7.4	>3550
Metallic	Hg	68 (16)	0.7	-39
	Al	324 (77)	3.4	660
	Fe	406 (97)	4.2	1538
	W	849 (203)	8.8	3410
van der Waals	Ar	7.7 (1.8)	0.08	-189
	Cl ₂	31 (7.4)	0.32	-101
Hydrogen	NH ₃	35 (8.4)	0.36	-78
	H ₂ O	51 (12.2)	0.52	0

Source: Callister- Materials Science and Engineering

Liaisons et températures fusion et ebullition



Exercice



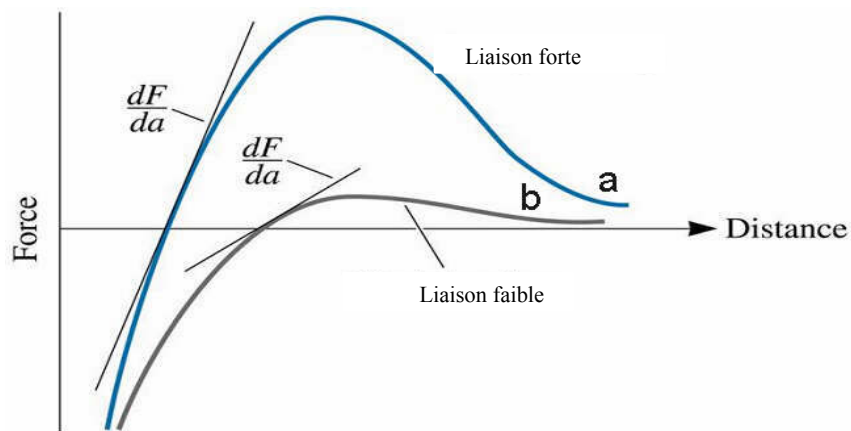
Nous avons les données ci-dessous, quelle est la température de fusion du Mo si l'énergie de liaison est 675,4 kJ/mol?

◆ Température de fusion (oC)
— Linear (Température de fusion (oC))

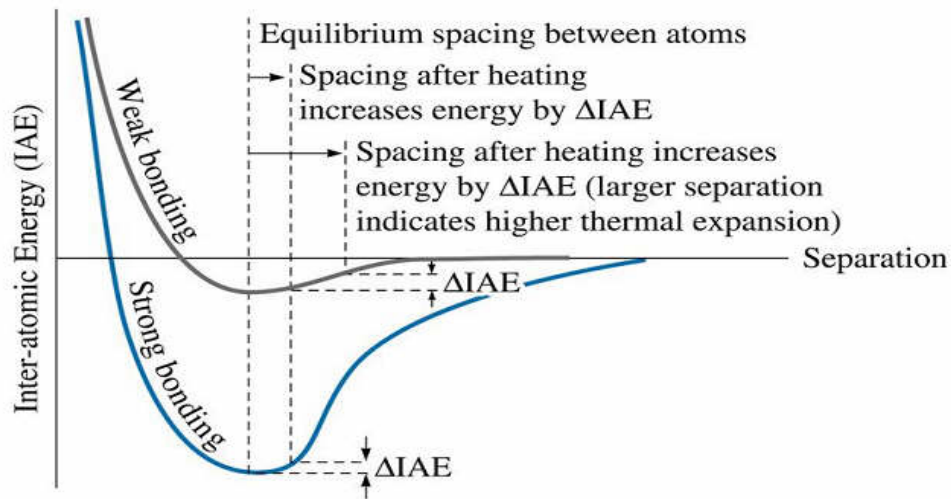
$$\text{Température fusion} = 4,64\text{énergie} - 520,2 \quad r^2 = 0,98$$

Element	Energie de liaison (kJ/mol)	Température de fusion (°C)
Hg	68	-39
Al	324	660
Fe	406	1538
W	849	3410

Liaisons et module d'élasticité



Liaisons et coefficient d'expansion



Source: D.R. Askerland, P.P. Phulé *The science and Engineering of Materials*

1-23

Liaisons et propriétés

Tableau 2.2 Principales caractéristiques des liaisons et propriétés qui en découlent

Type de liaison	Exemple et énergie de liaison (eV/at)	Nature de la liaison	Propriétés				
			T_f	E	α	σ	Ductilité
Covalente	Diamant (7,0)	Électrons partagés et localisés					
Ionique	NaCl (3,3)	Échange d'électrons; attraction électrostatique					
Métallique	Na (1,1) Cu (3,5) Ti (4,8)	Mise en commun d'électrons délocalisés					
Van der Waals	H ₂ (0,01) CH ₄ (0,1) Cl ₂ (0,3)	Attraction dipolaire					

Source: J.P. Bailon, J.M. Dorlot, *Des matériaux*

1-24

Relation E- α et type de liaison

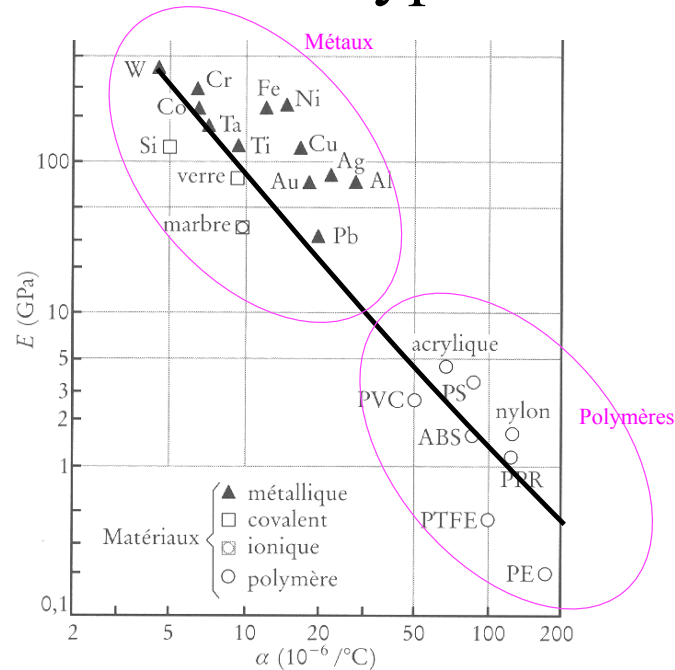


Figure 2.14 Relation entre le module d'Young E et le coefficient de dilatation linéique α de quelques matériaux.

Source: J.P Bailon, J.M. Dorlot, Des matériaux

Contraintes thermiques

- Contraintes thermique dues à la dilatation

En cas de chauffage,

- Si le matériau est libre de s'allonger => apparition de déformations

$$\varepsilon = \frac{L - L_0}{L_0} = \frac{L_0(1 + \alpha\Delta T) - L_0}{L_0} = \alpha\Delta T$$

- Si le matériau est bloqué => apparition de contraintes

$$\sigma = E\alpha_1(T_0 - T) = E\alpha_1\Delta T$$

- En cas de chauffage non uniforme (local) → choc thermique

- Initiation
- Propagation de fissure

On définit : résistance au choc thermique $RCT \approx R_m / \alpha E$

Plan du cours

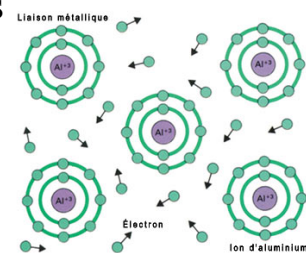
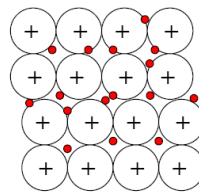
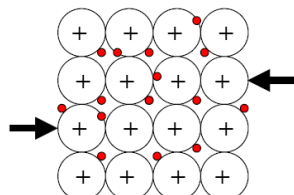
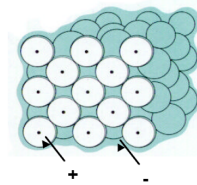
- **Liaisons chimiques**
 - Différents types
 - Propriétés qui en dépendent
 - **Liaisons dans les différents matériaux**
- Structures cristallines et amorphes
 - Différents types
 - Directions et plans cristallins
- Défauts dans les cristaux
 - Défauts ponctuels
 - Dislocations
 - Défauts à trois dimensions

1-27

Les métaux

Les métaux sont donc un **assemblage d'ions positifs** dans un « **gaz d'électrons** »:

- ✓ Liaisons métalliques
- ✓ Structure cristalline
- ✓ **Bonnes conductivités électrique et thermique**
- ✓ **Éclat métallique** (interactions entre électrons et photons)
- ✓ **Bonne ductilité** à cause de leur capacité de casser et de reformer des liaisons entre atomes sans briser la structure cristalline

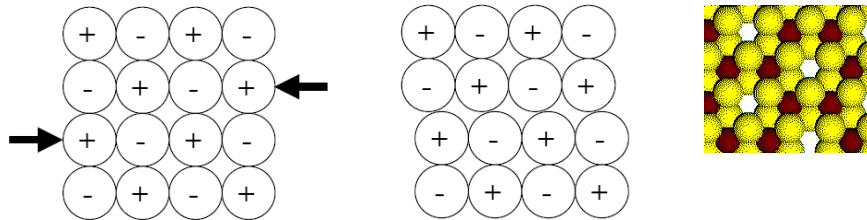


1-28

Les céramiques

Les céramiques présentent donc des **liaisons fortes ioniques ou covalentes**

- ✓ **Bons isolateurs de chaleur (réfractaire) et d'électricité** à cause du manque de mobilité d'électrons (pas d' e^- libres)
- ✓ **Fragiles** à cause de leur incapacité de casser et de reformer des liaisons sans briser la structure cristalline
- ✓ **Rigides et dures**, température de fusion élevée à cause de la force des liaisons ioniques et covalentes
- ✓ Souvent des oxydes, nitrures... Al_2O_3 , MgO , TiN , TiC (Diamant, graphite et verre) (inertes chimiquement)



1-29

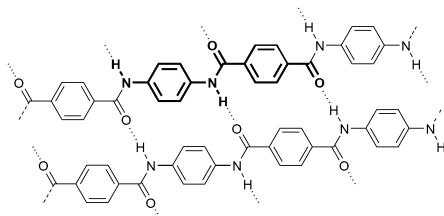
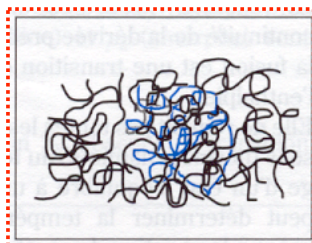
Les polymères

La cohésion des polymères est due à 2 types de liaisons :

- **Liaisons covalentes fortes** qui forment le squelette
- **Liaisons secondaires (Van der Waals ou hydrogène)** qui relient les chaînes entre elles

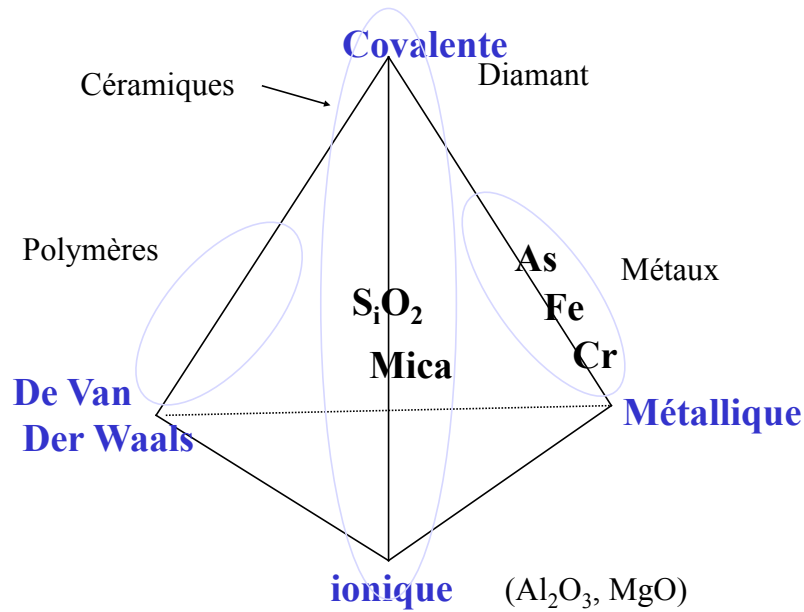
Propriétés :

- ✓ **Conductivité thermique** faible
- ✓ Coefficient de dilatation important (10 à 100 supérieur aux métaux)
- ✓ Faible limite d'élasticité et rigidité car **propriétés contrôlées par les liaisons secondaires**



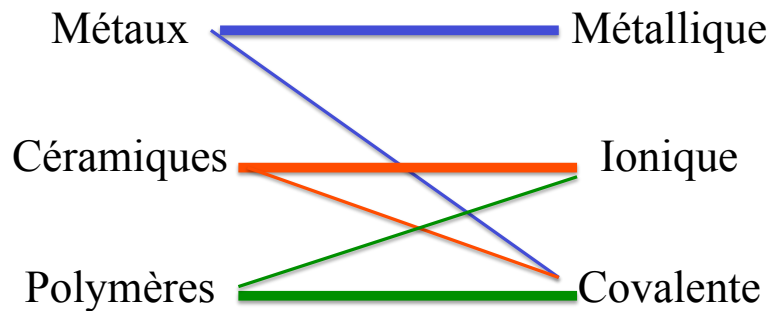
1-30

Caractère mixte des liaisons



1-31

*** À retenir par coeur ***



Liaisons fortes: Covalente, ionique , métallique
E élevé et α faible

1-32

Liaisons ioniques ou covalentes

Tableau 2.3 Caractéristiques de quelques matériaux : température de fusion, module d'Young et coefficient de dilatation linéique

Matériau	θ_f (°C)	E (GPa)	α ($10^{-6} \cdot ^\circ\text{C}^{-1}$)
<i>Liaisons ioniques ou covalentes</i>			
TiC	3180	315	7,4
SiC	>2800	480	4,7
MgO	2850	210	13,5
ZrO ₂	2750	205	10,0
C (fibres)	>2500	400	-
Al ₂ O ₃	2050	380	8,8
SiO ₂ (verre)	>1600	72	0,5

Source: J.P Bailon, J.M. Dorlot, Des matériaux

1-33

Liaisons métalliques

Matériau	θ_f (°C)	E (GPa)	α ($10^{-6} \cdot ^\circ\text{C}^{-1}$)
<i>Liaisons métalliques</i>			
Mo	2610	324	4,9
B	2030	400	8,3
Ti	1660	116	8,4
Fe	1535	210	11,8
Ni	1453	210	13,3
Cu	1083	110	16,5
Al	660	70	23,6
Mg	649	44	25,2
Zn	420	84	39,7
Pb	327	14	29,3
Sn	232	43	23,0

Source: J.P Bailon, J.M. Dorlot, Des matériaux

1-34

Liaisons faibles

Matériau	θ_f (°C)	E (GPa)	α ($10^{-6} \cdot ^\circ\text{C}^{-1}$)
<i>Liaisons faibles (van der Waals, pont hydrogène)</i>			
Polyéthylène b. d.	115	0,2	210
Polychlorure de vinyle	130	2,4	54
Époxy	-	2,4	72
Polyester	-	5,0	75
Aramide (fibres)	-	130	-
Os cortical	-	18	-
Bois (pin)	-	10	-

Source: J.P Bailon, J.M. Dorlot, Des matériaux

1-35

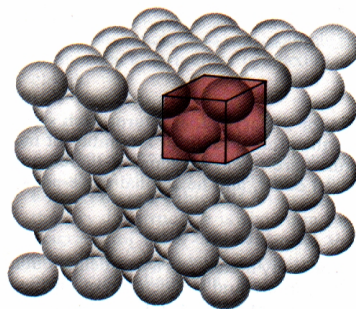
Plan du cours

- Liaisons chimiques
 - Différents types
 - Propriétés qui en dépendent
 - Liaisons dans les différents matériaux
- Structures cristallines et amorphes
 - Différents types
 - Directions et plans cristallins
- Défauts dans les cristaux
 - Défauts ponctuels
 - Dislocations
 - Défauts à trois dimensions

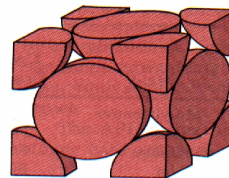
1-36

Les propriétés d'un matériau dépendent du type de liaison atomique, mais aussi de la structure cristalline et des défauts internes!

1-37



Sólido cristallin



Maille primitive

Systèmes et réseaux cristallins

Un cristal :

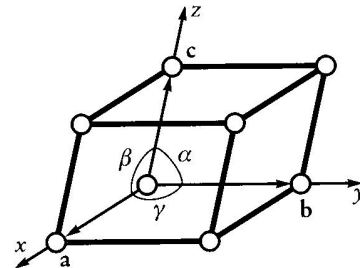
⇒ 3 vecteurs a , b , c selon Ox , Oy et Oz

⇒ 3 angles α , β , γ

Maille primitive :

⇒ Un atome à chaque sommet formant un nœud du réseau

⇒ Les relation entre a , b , c et α , β , γ permettent de définir 7 systèmes cristallins différents (cubique, quadratique...)



○ nœuds de la maille

Mailles multiples

⇒ Nœuds supplémentaires :

⇒ Centre des bases

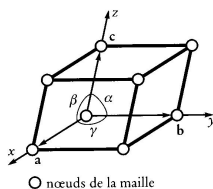
⇒ Centre de chacune des face

⇒ Centre de la maille

⇒ 14 réseau cristallins = réseaux de Bravais

1-39

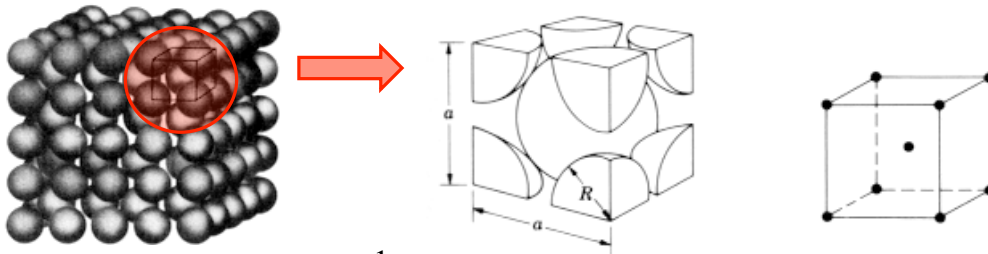
Systèmes cristallins



○ nœuds de la maille

Système cristallin	Relations entre les axes	Relations entre les angles	Réseaux de Bravais			
			simple	à bases centrées	centré	à faces centrées
triclinique	$a \neq b \neq c$	$\alpha \neq \beta \neq \gamma \neq 90^\circ$				
monoclinique	$a \neq b \neq c$	$\alpha = \gamma = 90^\circ \neq \beta$				
orthorhombique	$a \neq b \neq c$	$\alpha = \beta = \gamma = 90^\circ$				
rhomboédrique	$a = b = c$	$\alpha = \beta = \gamma \neq 90^\circ$				
hexagonal	$a = b \neq c$	$\alpha = \beta = 90^\circ$ $\gamma = 120^\circ$				
quadratique	$a = b \neq c$	$\alpha = \beta = \gamma = 90^\circ$				
cubique	$a = b = c$	$\alpha = \beta = \gamma = 90^\circ$				

Structure cubique centrée (CC)



Nombre d'atomes par maille $8 * \frac{1}{8} + 1 = 2 \text{ atomes/maille}$

Relation entre longueur de la maille (a) et rayon atomique (R) $a = \frac{4R}{\sqrt{3}}$

Nombre de coordination (1^{er} voisin) : 8

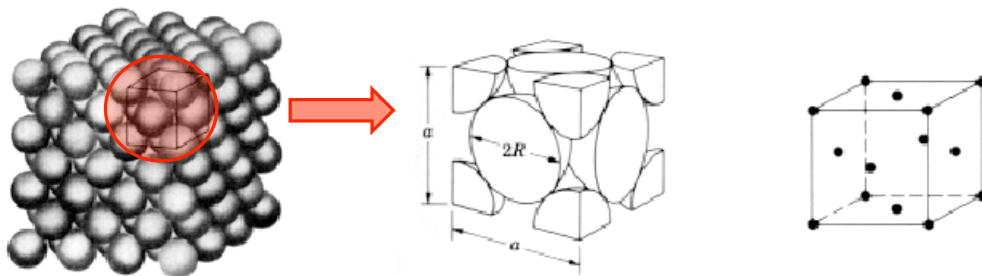
Compacité (C) $C = \frac{\text{Volume atome d'une maille élémentaire}}{\text{Volume total de la maille élémentaire}} = \frac{V_s}{V_m} = 0.68$

Masse volumique (ρ) $\rho = \frac{nM}{V_m N_A}$ $\left\{ \begin{array}{l} n : \text{nombre d'atomes associés à chaque maille élémentaire} \\ M : \text{masse molaire de l'atome} \\ V_m : \text{Volume de la maille élémentaire} \\ N_A : \text{Nombre d'Avogadro } (6.023 * 10^{23} \text{ atomes / mol}) \end{array} \right.$

Source: Callister- Materials Science and Engineering

1-41

Structure cubique faces centrées (CFC)



Nombre d'atomes par maille $8 * \frac{1}{8} + 6 * \frac{1}{2} = 4$

Relation entre longueur de la maille (a) et rayon atomique (R) $a = 2R\sqrt{2}$

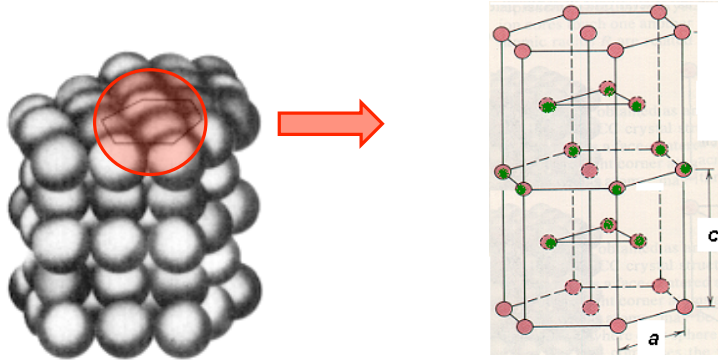
Nombre de coordination (1^{er} voisin) : 12

Compacité (C) $C = \frac{\text{Volume atome d'une maille élémentaire}}{\text{Volume total de la maille élémentaire}} = \frac{V_s}{V_m} = 0.74$

Source: Callister- Materials Science and Engineering

1-42

Structure hexagonale compacte (HC)



Nombre d'atomes par maille $12 * \frac{1}{6} + 2 * \frac{1}{2} + 3 = 6$

Nombre de coordination (1^{er} voisins) : 12

Compacité (C) $C = \frac{\text{Volume atome d'une maille élémentaire}}{\text{Volume total de la maille élémentaire}} = \frac{V_s}{V_m} = 0.74$

Source: Callister- Materials Science and Engineering

1-43

Exercice

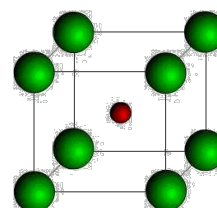
EXERCICE 3-8

Considérez la structure cristalline du chlorure de césium **CsCl** (fig. 3.23b du livre « Des Matériaux »).

- Calculez la compacité de cette structure cristalline.
- Quel est le réseau de Bravais de ce cristal ?
- Calculez la masse volumique théorique (en g/cm³) du **CsCl**.

Données :

	Cs	Cl
Masse atomique (g/mole)	132,9	35,5
Rayon ionique (nm)	0,165	0,181



Source: J.P. Bailon, J.M. Dorlot, Des matériaux

<http://www.a3bs.com/Chlorure-de-cesium-T22015>

http://chimie.scola.ac-paris.fr/sitedechimie/chi_inorg/cristallo/reso_ionic.htm

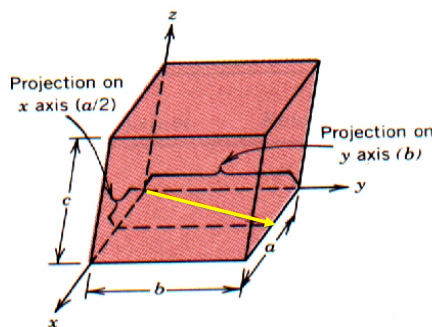
1-44

Plan du cours

- Liaisons chimiques
 - Différents types
 - Propriétés qui en dépendent
 - Liaisons dans les différents matériaux
- Structures cristallines et amorphes
 - Différents types
 - Directions et plans cristallins
- Défauts dans les cristaux
 - Défauts ponctuels
 - Dislocations
 - Défauts à trois dimensions

1-45

Directions cristallographiques



	x	y	z
projections	$\frac{1}{2}a$	1 b	0 c
Projections en a, b e c	$\frac{1}{2}$	1	0
Réduire à minima entiers	1	2	0
notation	[120]		

Une direction cristallographiques est un vecteur qui unit deux points d' un réseau cristallin

Comment faire?

Faire passer le vecteur par l' origine, déterminer la projection du vecteur sur les trois axes

Projections en a, b, et c

Réduire à des minima entiers

Donner la direction entre crochets [uvw]

Source: Callister- Materials Science and Engineering

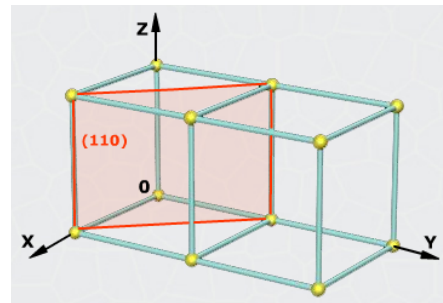
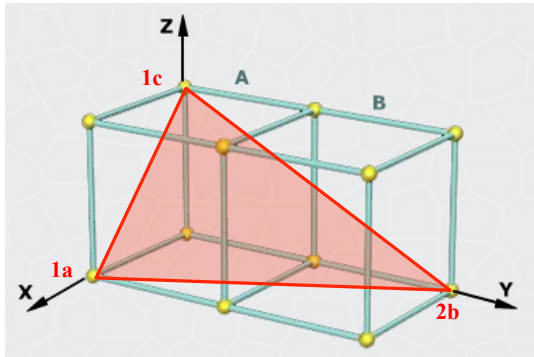
1-46

Plans cristallographiques

Indice de Miller

Méthode pour définir les directions et les plans

	x	y	z	x	y	z
1- Intersections	1	2	1	1	1	∞
2- Inverser	1/1	1/2	1/1	1/1	1/1	$1/\infty = 0$
3- Réduire au plus petit dénominateur	2	1	2	1	1	0
4- Indice Miller	(2	1	2)	(1	1	0)



1-47

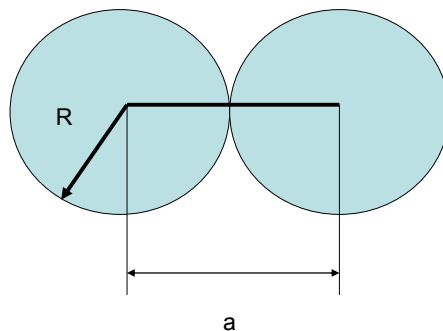
Pourquoi est-ce important?

Densité

Direction dense

Plan dense

linéique



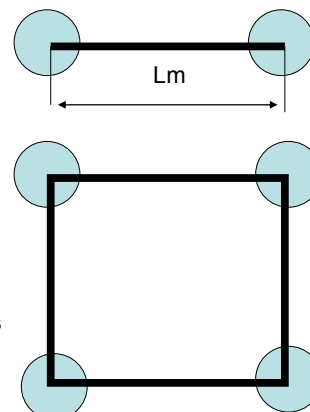
Densités

linéique

$$DL = \frac{n * R}{Lm} \quad n: \text{nombre d'atomes}$$

surfaccique

$$Ds = \frac{Sc}{Sp} = \frac{\text{aire des cercles}}{\text{aire du plan}}$$



Surfaccique

1-48

Pourquoi est-ce important?

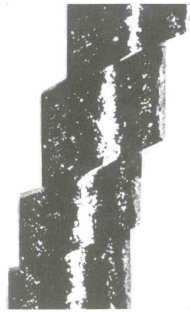


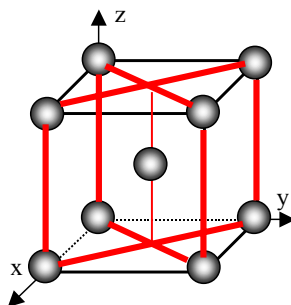
Figure 4.10 Déformation plastique par glissement (monocristal de zinc).

Il peut être montré que les systèmes de glissements se feront sur les plans et direction les plus denses
Plus il y aura de systèmes de glissement, plus les matériaux seront ductiles.

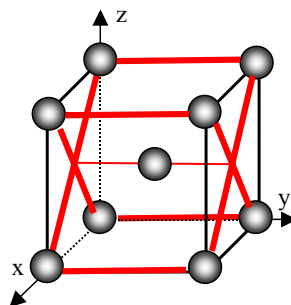
Source: J.P Bailon, J.M. Dorlot, Des matériaux

1-49

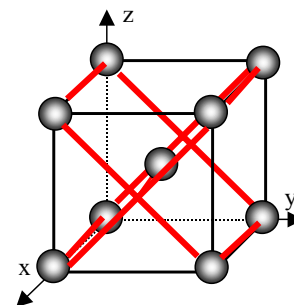
Structure cubique à corps centré



(110) et $(\bar{1}\bar{1}0)$



(101) et $(\bar{1}\bar{1}0)$



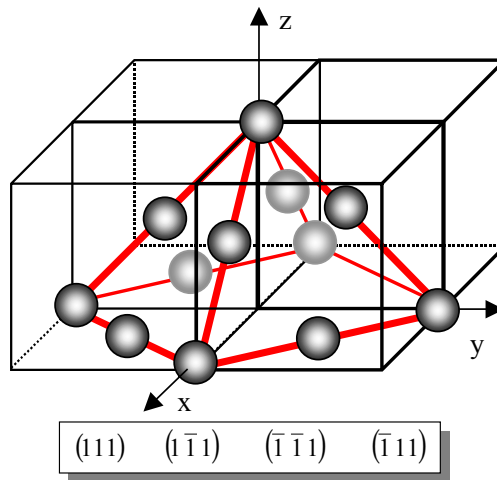
(011) et $(0\bar{1}1)$

12 systèmes de glissement

Source: J.P Bailon, J.M. Dorlot, Des matériaux Exercice 3-11

1-50

Pourquoi est-ce important?

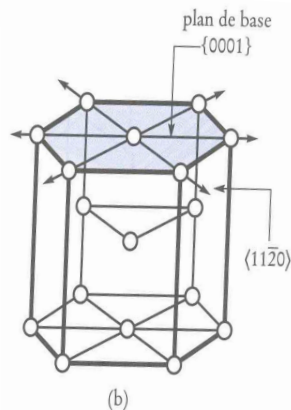


12 systèmes de glissement

Source: J.P Bailon, J.M. Dorlot, Des matériaux

1-51

Pourquoi est-ce important?



4 systèmes de glissement

Source: J.P Bailon, J.M. Dorlot, Des matériaux

1-52

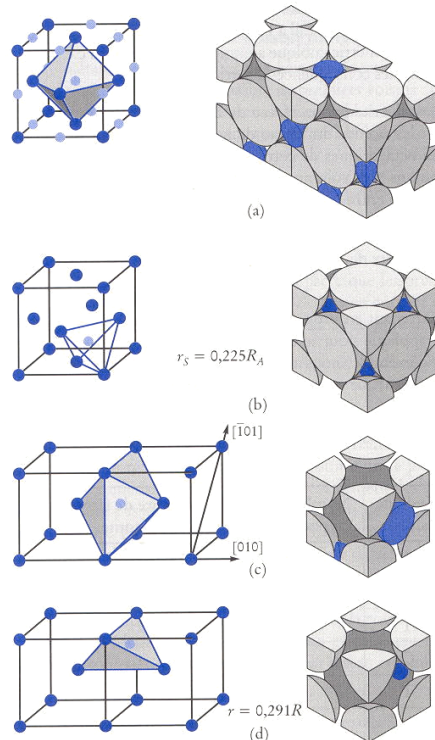
Tableau des structures cristallines à Température ambiante

Li	Be											B	C	N	O	F	Ne
BCC	HCP												DIA	HEX	CUB	MON	FCC
Na	Mg											Al	Si	P	S	Cl	Ar
BCC	HCP											FCC	DIA	CUB	ORH	TET	FCC
K	Ca	Sc	Ti	V	Cr	Mn	Fe	Co	Ni	Cu	Zn	Ga	Ge	As	Se	Br	Kr
BCC	FCC	HCP	HCP	BCC	BCC	CUB	BCC	FCC	FCC	FCC	HCP		DIA	RTM	HEX	ORH	FCC
Rb	Sr	Y	Zr	Nb	Mo	Tc	Ru	Rh	Pd	Ag	Cd	In	Sn	Sb	Te	I	Xe
BCC	FCC	HCP	HCP	BCC	BCC	HCP	HCP	FCC	FCC	FCC	HCP		DIA	RHM	HCP	ORH	FCC
Cs	Ba	La	Hf	Ta	W	Re	Os	Ir	Pt	Au	Hg	Tl	Pb	Bi	Po	At	Rn
BCC	BCC	HEX	HCP	BCC	BCC	HCP	HCP	FCC	FCC	FCC		HCP	FCC	RHM	CUB		FCC

BCC: cubique à corps centré: CC
FCC: cubique à faces centrées: CFC
HCP: Hexagonale compacte: HC

1-53

Sites
interstitiels



CFC
Sites polyédriques

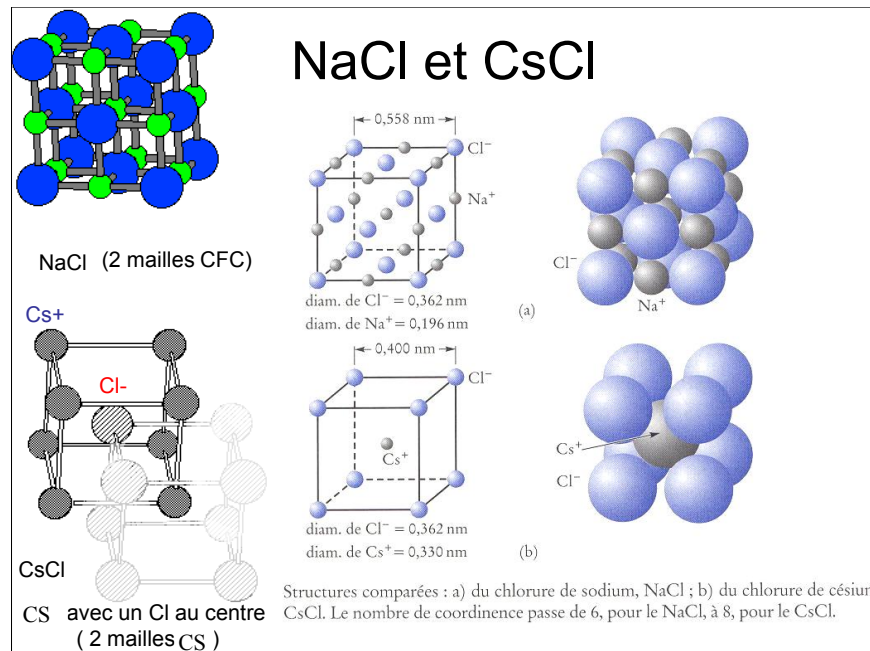
CFC
Sites tétraédriques

CC
Sites octaédrique

CC
Sites tétraédrique

Figure 3.16 Sites interstitiels : a) structure c.f.c., site octaédrique ; b) structure c.f.c., site tétraédrique ; c) structure c.c., site octaédrique ; d) structure c.c., site tétraédrique.

Maille des composés ioniques



Source: Bailon et Dorlot, Des Matériaux

1-55

Allotropie

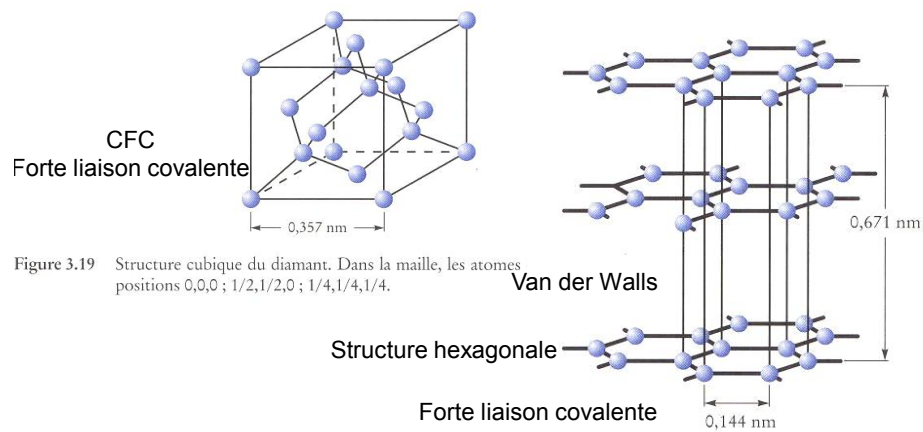


Figure 3.19 Structure cubique du diamant. Dans la maille, les atomes positions 0,0,0 ; 1/2,1/2,0 ; 1/4,1/4,1/4.

Figure 3.20 Structure hexagonale du graphite.

Plan du cours

- Liaisons chimiques
 - Différents types
 - Propriétés qui en dépendent
 - Liaisons dans les différents matériaux
- Structures cristallines et amorphes
 - Différents types
 - Directions et plans cristallins
- Défauts dans les cristaux
 - Défauts ponctuels
 - Dislocations
 - Défauts à trois dimensions

1-57

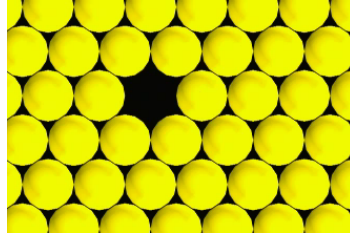
Plan du cours

- Liaisons chimiques
 - Différents types
 - Propriétés qui en dépendent
 - Liaisons dans les différents matériaux
- Structures cristallines et amorphes
 - Différents types
 - Directions et plans cristallins
- Défauts dans les cristaux
 - Défauts ponctuels
 - Dislocations
 - Défauts à trois dimensions

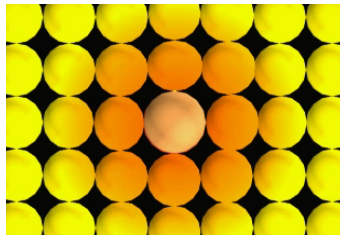
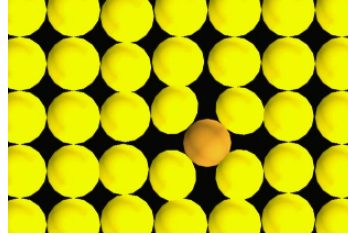
1-58

Les défauts ponctuels

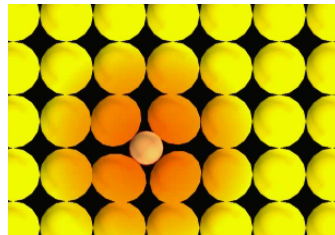
Lacune : absence d'un atome à un nœud du réseau



Défaut auto-interstitiel : atome identique en insertion dans un site du réseau



Atome de substitution occupe un des nœuds du réseau.



Atome en insertion occupe un des sites définis par les atomes hôtes du réseau

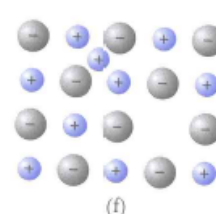
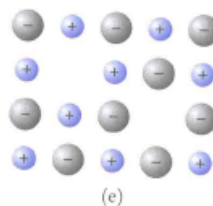
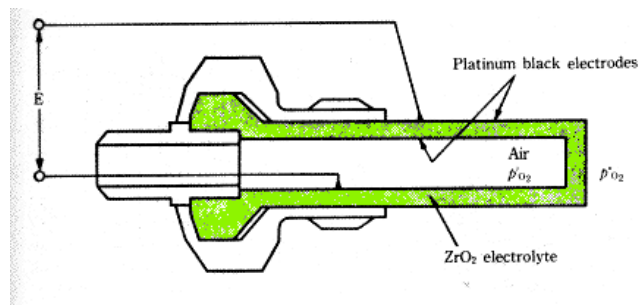
1-59



Importance des défauts ponctuels:

Exemples

- Matériaux principaux: $\text{ZrO}_2(\text{O}_2)$, ZnO , SnO_2 , Fe_2O_3 (H_2O)
- Détecteur d'oxygène dans les automobiles

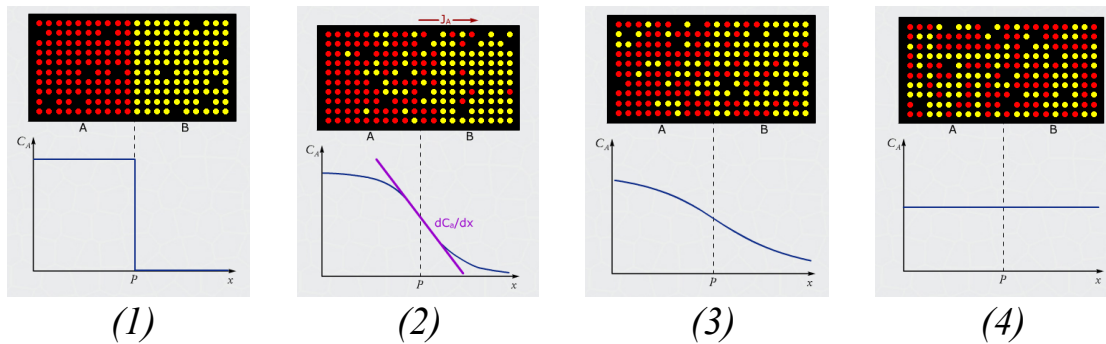


Importance des défauts ponctuels: Exem

La diffusion est possible grâce à la présence de **lacunes** (défauts ponctuels)

Au cours du temps, le profil de concentration des éléments se modifie

Le flux d'atomes A diffusant dans B peut être défini par :



Source: Des Matériaux, JP Bailon, JM Dorlot

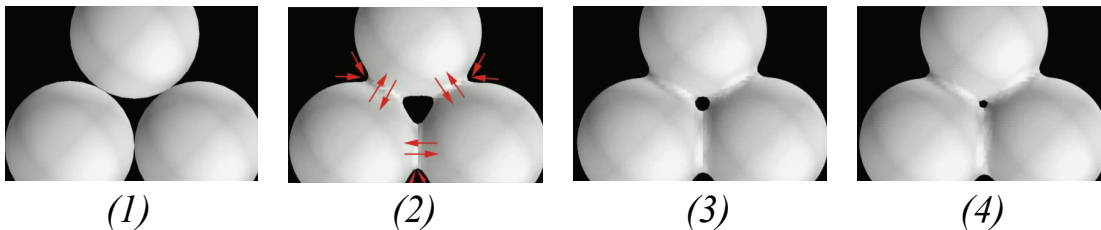
1-61

Applications de la diffusion

Traitements thermiques

Soudage et brasage

Frittage : Établissement de liaisons entre des particules de poudres portées à haute température par diffusion en volume et en surface



Source: Des Matériaux, JP Bailon, JM Dorlot

1-62

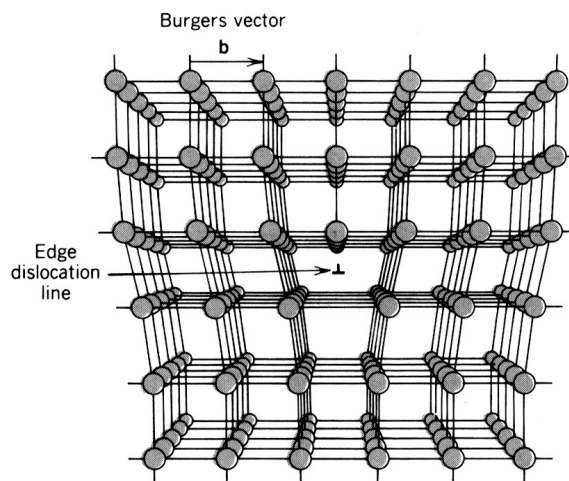
Plan du cours

- Liaisons chimiques
 - Différents types
 - Propriétés qui en dépendent
 - Liaisons dans les différents matériaux
- Structures cristallines et amorphes
 - Différents types
 - Directions et plans cristallins
- Défauts dans les cristaux
 - Défauts ponctuels
 - Dislocations
 - Défauts à trois dimensions

1-63

Dislocations

- Une dislocation est l'introduction d'un demi-plan supplémentaire.
- C'est un défaut linéaire qui définit la frontière entre une région déformée et non-déformée du cristal.



Dislocations

cristal parfait

Dislocations

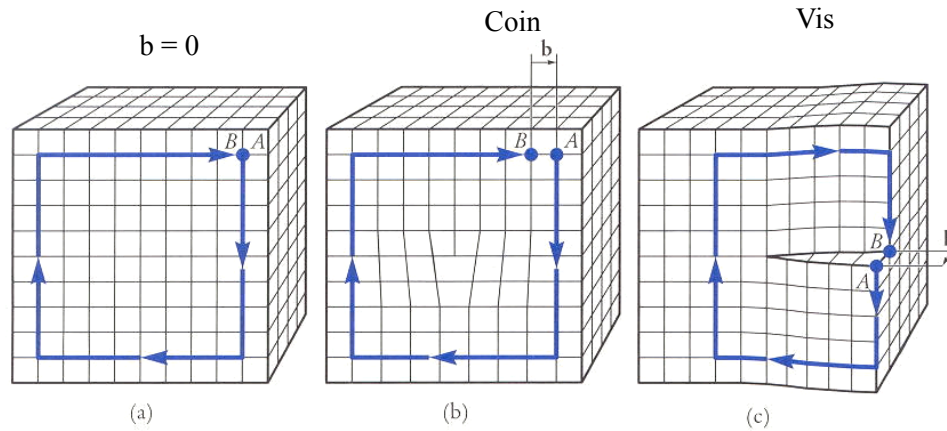
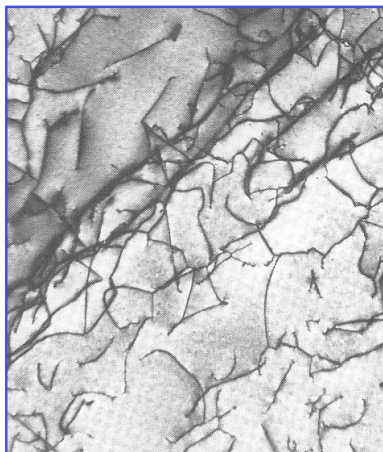


Figure 3.29 Détermination du vecteur de Burgers : a) dans un cristal parfait, le circuit se referme ; b) autour d'une dislocation-corn, le même circuit aboutit au point B , et le défaut de fermeture BA est le vecteur de Burgers, perpendiculaire à la ligne de dislocation ; c) le défaut de fermeture BA autour d'une dislocation-vis est parallèle à la ligne de dislocation.

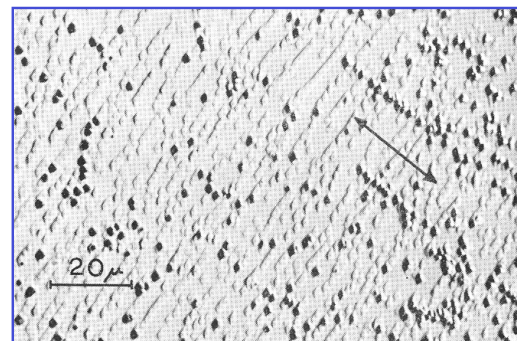
Source: Calister- Science des matériaux

1-65

Dislocations



Microscopie de transmission
On voit les dislocations



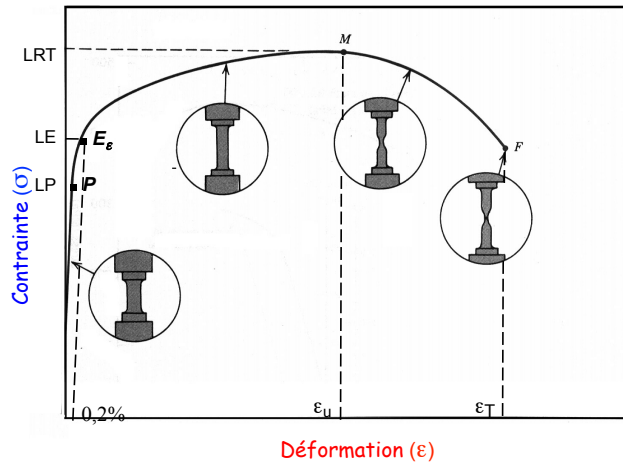
Microscopie optique d'un alliage de cuivre
Corrosion

Source: Calister- Science des matériaux

1-66

Rappels: déformation plastique

Contrainte (σ) vs Déformation (ϵ)
matériau métallique ductile



$$\sigma = F / A_0$$

$$\epsilon = (l - l_0) / l_0 = \Delta l / l_0$$

A_0 : section transversale

F: force appliquée

l: longueur échantillon déformé

l_0 : longueur initiale

- O- P déformation élastique réversible
- P à F déformation plastique permanente
 - De P à M homogène
 - de M à F striction
- F: Rupture

- Tension au point E_g : Limite d'élasticité ($R_{e0.2}$).
- Tension au point M: Résistance à traction (R_m).

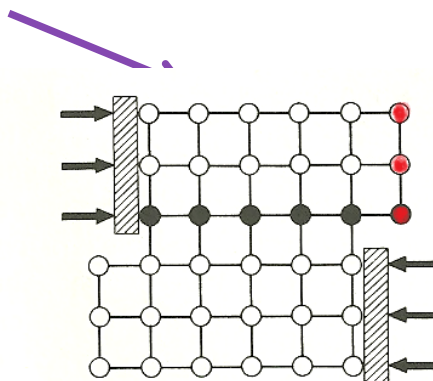
67

1-67

Rappels: déformation plastique

La déformation plastique se fait par
déplacement des dislocations

Dislocation coin



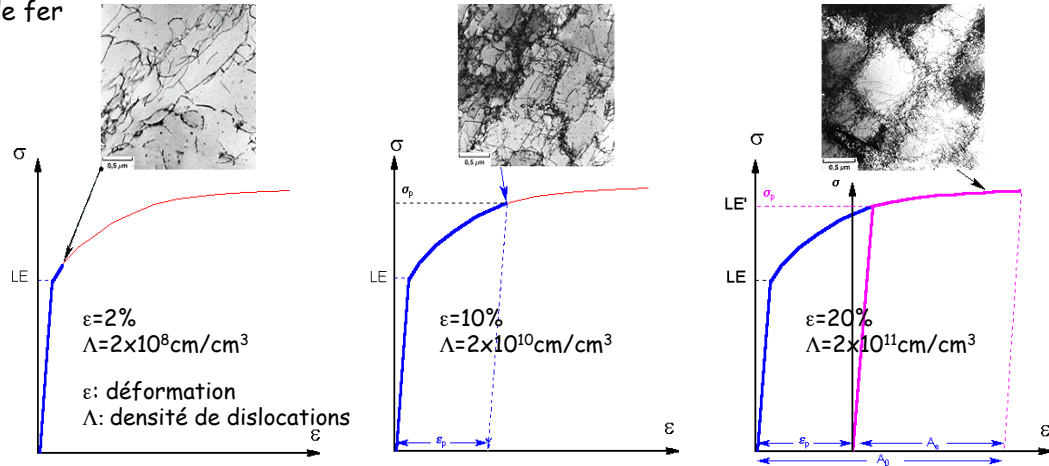
Sous l'action de la cisson la dislocation bouge progressivement dans le crystal

Si le déplacement des dislocations est difficile le matériau deviendra plus dur

Travail à froid - écrouissage

Au cours de la **déformation plastique** les **dislocations** se déplacent et se multiplient, forment des empilements, des noeuds et leur mouvement est de plus en plus difficile. Il faut donc une **contrainte plus élevée** pour que les dislocations se déplacent et pour une nouvelle déformation plastique.

Observation des dislocations au microscope électronique à transmission sur des échantillons de fer



Source: Bailon et Dorlot, Des Matériaux

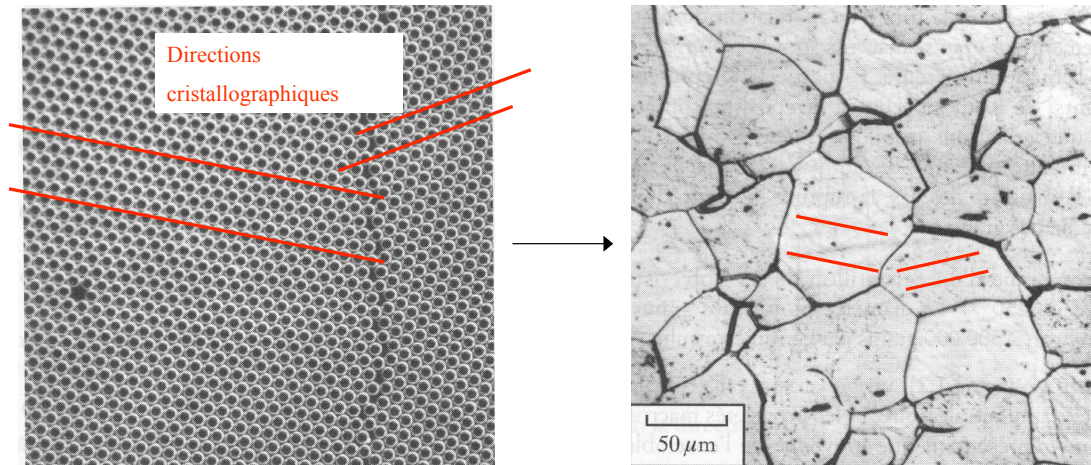
1-69

Plan du cours

- Liaisons chimiques
 - Différents types
 - Propriétés qui en dépendent
 - Liaisons dans les différents matériaux
- Structures cristallines et amorphes
 - Différents types
 - Directions et plans cristallins
- Défauts dans les cristaux
 - Défauts ponctuels
 - Dislocations
 - Défauts à trois dimensions

Joint de grains

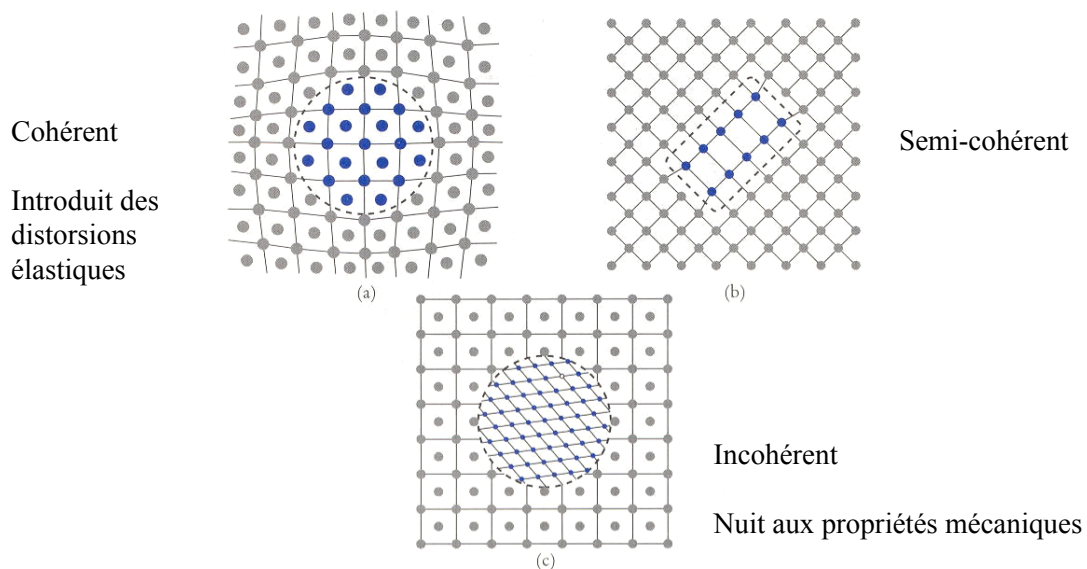
Surface d'accrolement des grains



Source: Bailon et Dorlot, Des Matériaux

1-71

précipités et inclusions (saletés)



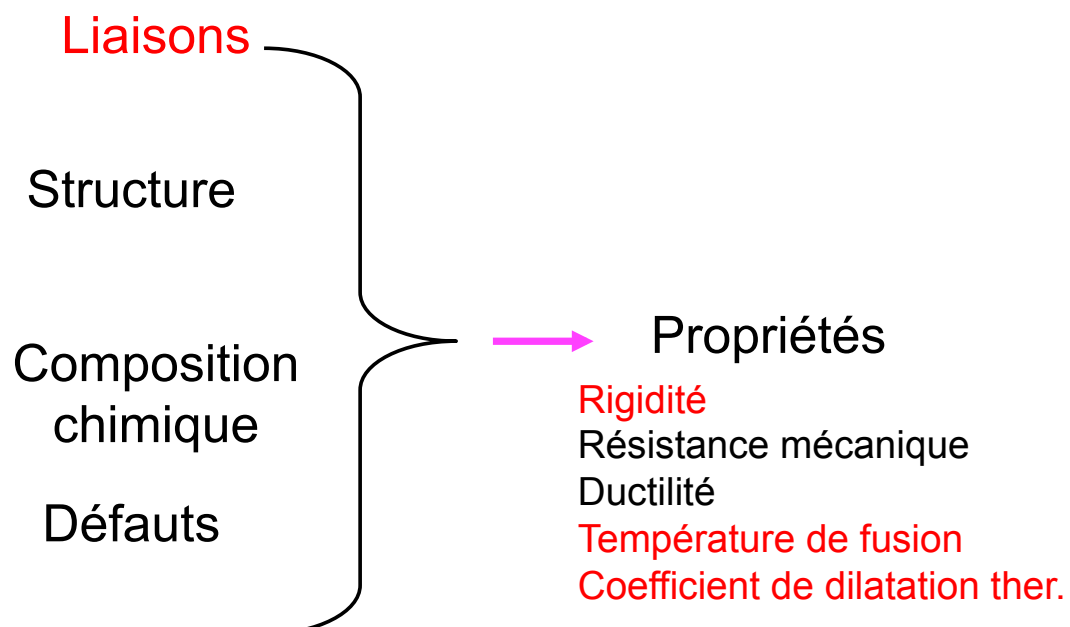
Source: Calister- Science des matériaux

1-72

Tout ce qui bloque le mouvement des dislocations augmente la résistance élastique (R_e) d'un matériau

1-73

Très important



1-74